

## Definition der „ $\int \dots \int \int \int z dt dc_1 dc_2 dc_3 \dots dc_n$ - Funktion“ als Potential

Ermittlung der Eigenfrequenzen eines Harmonischen Oszillator

Was liegt näher, gegebene Funktion als Potential zu erklären. Dazu wird zuerst die „einfache“ Form mit „ $q = 1$ “ und „ $p = 1$ “ betrachtet:

$$\int_{c_n}^{\infty} \int_{c_3}^{\infty} \int_{c_2}^{\infty} \int_{c_1}^{\infty} z dt dc_1 dc_2 dc_3 \dots dc_n = \Psi(c_n, n) = e^{-c_n} (\gamma - c_n - n)$$

Nachteil dieser (jetzt) Potentiale ist es, dass das Minimum nicht durch den Koordinatenursprung verläuft und somit eine inhomogene Bewegungsgleichung erzwingt. Da jedoch das Minimum selbst einer starken Regelmäßigkeit folgt, lässt sich „ $\Psi$ “ leicht (hier) auf den Punkt (0;0) zentrieren, so gilt:

$$P_E(\gamma - n + 1; (-1)e^{-(\gamma - n + 1)}) \leftrightarrow P_E(x; (-1)e^{-x})$$

⇒

$$P_E : y = -e^{-x}$$

⇒

$$c_n = \gamma - n + 1$$

⇒

$$\Psi(c, n) = e^{-(c + \gamma - n + 1)} (\gamma - (c + \gamma - n + 1) - n) + e^{-(\gamma - n + 1)}$$

⇔

$$\Psi(c, n) = e^{n - \gamma - 1} (1 - e^{-c} (c + 1))$$

Graphisch dargestellt, die nun zentrierten Potentiale für den Bereich „ $0 \leq n \leq 5$ “, wobei „ $n \in \mathbb{N}_0$ “:

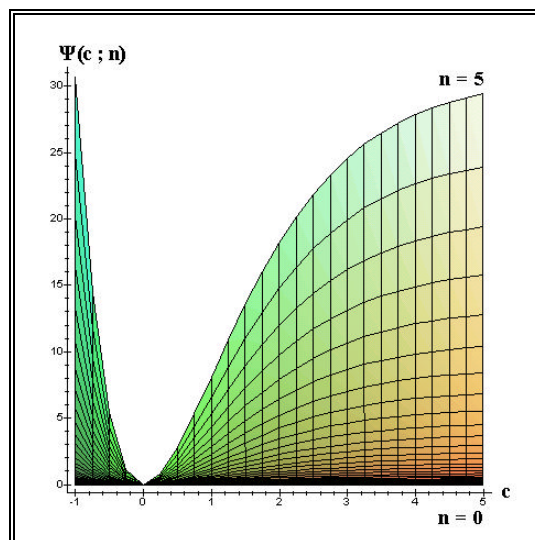


Abb. 8: Das Potential „ $\Psi$ “ graphisch dargestellt.

Aus der Berechnungsgrundlage von „Ψ“ lässt sich die Maximalenergie des Oszillators für „c → +∞“ ablesen:

$$E_{\max}(n) = e^{n-\gamma-1} \rightarrow \bar{E}_{\max}(n) = \frac{E_{\max}(n)}{E_{\max}(0)} = e^n \rightarrow \bar{\bar{E}}_{\max} = \frac{E_{\max}(n)}{E_{\max}(n-1)} = e^1$$

⇒

n	0	1	2	3	4	5
E <sub>max</sub>	0, 206...	0, 561...	1, 526...	4, 148...	11, 277...	30, 654...

⇒

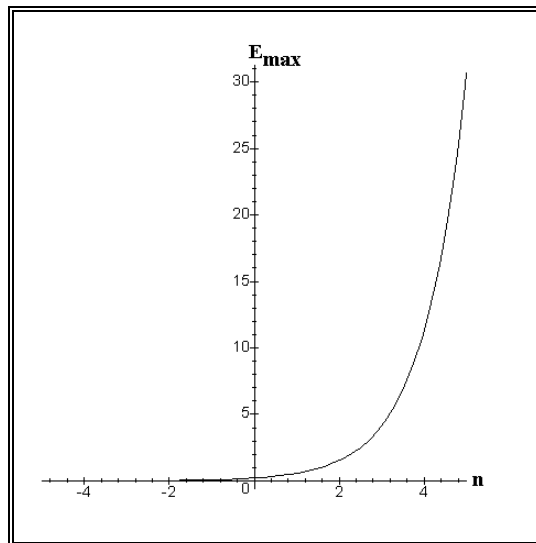


Abb. 9: Das maximale Potential „E<sub>max</sub>“ für „c → +∞“ graphisch dargestellt.

Wird „E<sub>max</sub>“ vernachlässigt, bleibt das „Rumpfpotential“ übrig, wieder eine modifizierte Lambert- W- Funktion.

$$\Psi_0(c) = 1 - e^{-c}(c+1)$$

⇒

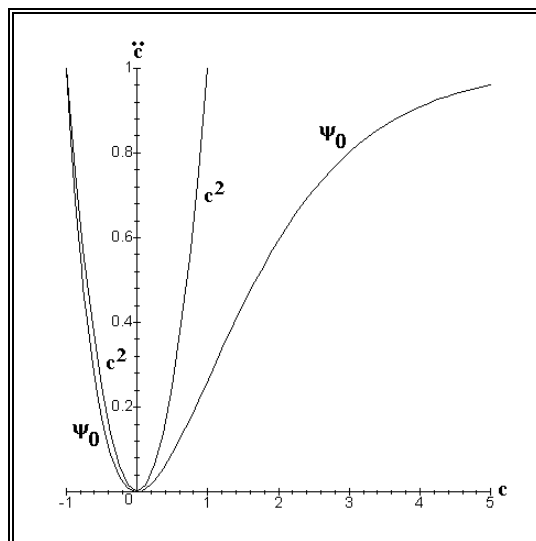


Abb. 10: Das Rumpfpotential und die Funktion „c<sup>2</sup>“ graphisch dargestellt.

In der Graphik Abb. 10 ist die Funktion „c<sup>2</sup>“ mit dargestellt. Es ist das einfachste Potential eines harmonischen Oszillators, einem Feder- Masse- System. Die

Differenz beider Potentiale zeigt Abb. 11.

$$\Delta = c^2 - \Psi_0(c)$$

⇒

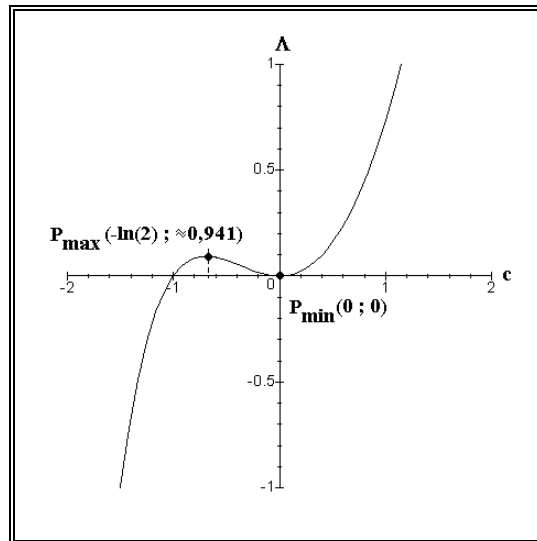


Abb. 11: Die Differenz „ $\Delta$ “ graphisch dargestellt.

Interpretation:

- Versagen des Systems für „ $c \rightarrow +\infty$ “ zum Beispiel durch Bindungsbruch, Endanschlag der Feder.
- Überproportionale Zunahme des Potentials für „ $c \rightarrow -\infty$ “.

Damit entspricht sich das hier gefundene Potential vielen Vorgänge in der Natur.

Bevor die weiteren Betrachtungen am Potential fortgeführt werden, wird zuerst das des Feder- Masse- Schwingers untersucht und dessen Eigenfrequenzen ermittelt.

Die weiteren Berechnungen gelten für kleine Änderungen von „ $c$ “. So ist die Grundschiwingung „ $f_0$ “ ermittelbar, wenn das Potential definiert wird als:

$$\Psi^\bullet(c, n) = e^{n-\gamma-1} \frac{1}{2} c^2$$

⇒

$$\frac{\partial}{\partial c} \Psi^\bullet(c, n) = e^{n-\gamma-1} c$$

Die Bewegungsdifferentialgleichung:

$$c'' = -\frac{\partial}{\partial c} \Psi^\bullet(c, n)$$

⇒

$$c'' = -e^{n-\gamma-1} c$$

Für diesen Fall gilt:

$$c'' + e^{n-\gamma-1}c = 0$$

Die charakteristische Gleichung liefert die Lösung dieser homogenen, linearen Differentialgleichung 2. Ordnung:

$$\lambda^2 + e^{n-\gamma-1} = 0$$

⇒

$$\lambda_{1,2} = 0 \pm \sqrt{-e^{n-\gamma-1}} = 0 \pm \sqrt{-1} \sqrt{e^{n-\gamma-1}} \equiv a \pm ib$$

Das System ist dann schwingungsfähig, wenn gilt:

$$-e^{n-\gamma-1} < 0$$

⇔

$$e^{n-\gamma-1} > 0$$

Dieses System ist für alle Bedingungen schwingungsfähig. Es wurde ermittelt:

$$\begin{array}{l} a = 0 \quad \rightarrow \text{ungedämpft} \\ b = \sqrt{e^{n-\gamma-1}} \quad \rightarrow \text{Kreisfrequenz} \end{array}$$

Die Grundfrequenz ist definiert durch:

$$c = e^{ax} \sin(bt) = e^0 \sin(\omega_0 t) = \sin\left(t \sqrt{e^{n-\gamma-1}}\right)$$

⇒

$$\omega_0 = 2\pi f = \sqrt{e^{n-\gamma-1}}$$

⇒

$$f_0 = \frac{1}{T_0} = \frac{1}{2\pi} \sqrt{e^{n-\gamma-1}}$$

⇒

$$T_0 = 2\pi \sqrt{e^{-n+\gamma+1}}$$

Im Allgemeinen wird in den Naturwissenschaften die Wellenzahl „ $v_0$ “ genutzt:

$$v_0 = \frac{c_L}{f_0}$$

⇒

$$v_0 = 2\pi c_L \sqrt{e^{n-\gamma-1}}$$

Wobei „ $c_L$ “ hier die Phasengeschwindigkeit, respektive die Lichtgeschwindigkeit darstellt.

Die Frequenz „ $f_0$ “ graphisch dargestellt:

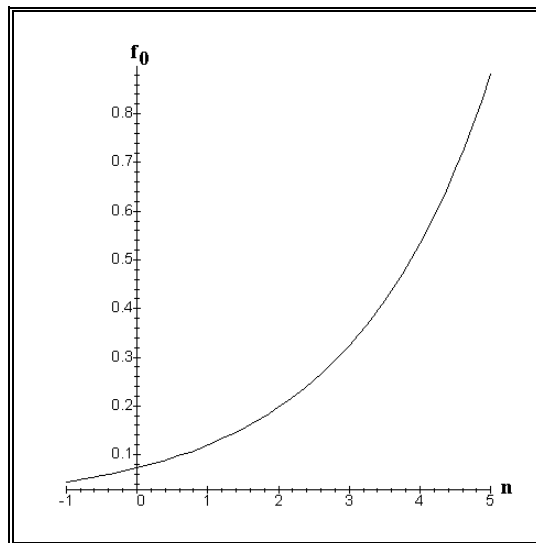


Abb. 12: Die Berechnungsgrundlage von „ $f_0$ “ graphisch dargestellt.

⇒

n	0	1	2	3	4	5
$f_0$	0, 072...	0, 119...	0, 196...	0, 324...	0, 534...	0, 881...

Wobei stillschweigend die Masse des Ersatzschwingsystems mit „1“ angesetzt wurde, was für die spätere Berechnung der Eigenfrequenzen invariant ist.

Weiterhin gilt:

$$\bar{f}_0(n) = \frac{f_0(n)}{f_0(0)} = \sqrt{e^n} \quad \rightarrow \quad \bar{f}_0 = \frac{f_0(n)}{f_0(n-1)} = \sqrt{e^1}$$

Es wurde ermittelt:

$$\omega_0^2 = e^{n-\gamma-1}$$

Damit ergibt sich für die Bewegungsdifferentialgleichung des Ersatzsystems:

$$\Psi^*(c, n) = \frac{1}{2} (\omega_0 c)^2$$

⇒

$$c'' + \omega_0^2 c = 0$$

Um die Eigenwerte und Eigenfrequenzen berechnet zu können wird ein geeignetes Störglied eingeführt:

$$c'' + \omega_0^2 c = \varepsilon \sin(\nu t)$$

Dabei gilt für „ $\varepsilon$ “:

$$0 < \varepsilon < 1$$

Es liegt nun eine inhomogene, lineare Differentialgleichung 2. Ordnung mit konstanten Koeffizienten vor. Nachteil, im Störglied kommt die physikalische Leitgröße Zeit „ $t$ “ vor. Da sämtliche Betrachtungen bis zum jetzigen Zeitpunkt ein beliebiger intrinsischer Faktor „ $c$ “ war, wird dieser wieder eingeführt, indem „ $t$ “ dimensionslos gemacht wird. So soll gelten:

$$\tau = vt$$

$\Rightarrow$

$$\frac{dq}{dt} = \frac{dq}{dt} \frac{d\tau}{d\tau} = \frac{dq}{d\tau} \frac{d\tau}{dt} = \frac{dq}{d\tau} v = q'v$$

... und:

$$\frac{d^2q}{dt^2} = \frac{d^2q}{dt^2} \frac{d\tau^2}{d\tau^2} = \frac{d^2q}{d\tau^2} \frac{d\tau^2}{dt^2} = \left(\frac{dq}{d\tau}\right)^2 \frac{d\tau^2}{dt^2} = v^2 \frac{d^2q}{d\tau^2} = v^2 q''$$

$\Rightarrow$

$$v^2 c'' + \omega_0^2 c = \varepsilon \sin(\tau)$$

$\Leftrightarrow$

$$c'' + \left(\frac{\omega_0}{v}\right)^2 c = \frac{\varepsilon}{v^2} \sin(\tau)$$

Die Lösung der linken Seite ist bekannt und oben bereits gezeigt, so dass nur noch die Lösung der Störung berechnet werden muss. Die Summe beider Ergebnisse ist die Lösung:

- homogene Lösung:

$$c_H = \sin\left(\frac{\omega_0}{v} t\right)$$

- Störglied:

$$r(\tau) = \frac{\varepsilon}{v^2} \sin(\tau) \quad \Leftrightarrow \quad r(x) = a \cos(mx) + b \sin(mx) \quad \Leftrightarrow \quad r(x) = C_1(x)y_1(x) + C_2(x)y_2(x)$$

$\Rightarrow$

$$\begin{aligned} C_1(\tau) &= 0 \\ C_2(\tau) &= \frac{\varepsilon}{v^2} = \varepsilon \frac{t^2}{\tau^2} \\ y_1(\tau) &= 0 \\ y_2(\tau) &= \sin(\tau) \end{aligned}$$

⇒

$$\begin{aligned} C_1'(\tau) &= 0 \\ C_2'(\tau) &= -2\varepsilon \frac{t^2}{\tau^3} = -\frac{\varepsilon}{v^2} \frac{2}{\tau} \\ y_1'(\tau) &= 0 \\ y_2'(\tau) &= \cos(\tau) \end{aligned}$$

⇒

$$\begin{aligned} C_1'(\tau)y_1(\tau) + C_2'(\tau)y_2(\tau) &= 0 \\ C_1'(\tau)y_1'(\tau) + C_2'(\tau)y_2'(\tau) &= r(\tau) \end{aligned}$$

⇒

$$\begin{aligned} -\frac{\varepsilon}{v^2} \frac{2}{\tau} \sin(\tau) &= 0 \\ -\frac{\varepsilon}{v^2} \frac{2}{\tau} \cos(\tau) &= \frac{\varepsilon}{v^2} \sin(\tau) \end{aligned}$$

Nichttrivial sind die Lösungen:

$$\begin{aligned} y_2(\tau) = \sin(\tau) &= 0 \\ y_2'(\tau) = \cos(\tau) &= 0 \end{aligned}$$

⇒

$$y_2(\tau) = c_{s_1} = c_{s_2} = \sin(\tau) = \sin(vt)$$

Gesamtlösung wird demnach sein:

$$c(t) = \sin\left(\frac{\omega_0}{v} t\right) + \sin(vt)$$

Randbedingungen für die Eigenwerte innerhalb der Konventionen eines Potentials

$$c(0) = c(2\pi) = 0$$

Diese Randbedingung ist erfüllt. Da außerdem eine weitere Bedingung die Periode „ $2n\pi$ “ für Eigenwerte gefordert ist, sind ganzzahlige Vielfache von „ $\omega_0$ “ gültig:

$$\omega_0 = n v$$

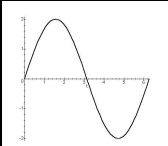
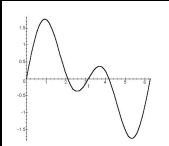
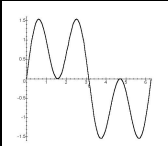
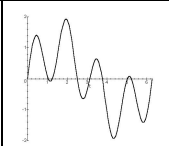
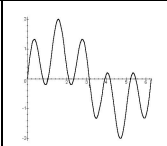
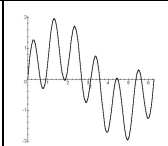
⇒

$$c = \sin(nt) + \sin(vt)$$

Alle Randbedingungen bleiben erhalten für:

$$n \in \mathbb{N}$$

Womit die oben beschriebene Quantelung über „n“ in der Energie wieder gefunden ist und die Eigenfrequenzen bestimmt.

n	1	2	3	4	5	6
c für $v = 2\pi$						

Gefundene Ergebnisse gelten, wie festgelegt, nur für das Feder- Masse-Potentials.